

## کانال‌های آبی NtPIP1;1 و NtPIP2;1 توزیع مکانی متفاوتی در سلول‌های گیاه توتون دارند

مجید مهدیه Ph.D.

دانشگاه اراک، دانشکده علوم، گروه زیست‌شناسی، کد پستی ۳۸۱۵۶-۸-۸۳۴۹  
\* پست الکترونیک نویسنده مسئول: m-mahdiyeh@araku.ac.ir

تاریخ پذیرش: ۱۳۹۱/۹/۲۱

تاریخ دریافت: ۱۳۹۰/۱۰/۹

### چکیده

هدف: حرکت آب از عرض غشاها سلولی با حضور پروتئین‌های بنام کانال آبی یا آکواپورین تسهیل می‌شود. کانال‌های آبی غشاپلاسمایی گیاهان به دو گروه PIP1s و PIP2s تقسیم می‌شوند که فعالیت انتقال آب متفاوتی را نشان می‌دهند به طوری که PIP1s غیرفعال بوده، در حالیکه PIP2s افزایش قابل توجهی را در ضریب نفوذپذیری آبی اسموتیک غشاء ( $P_r$ ) موجب می‌شود. این تفاوت در فعالیت انتقال آب آن‌ها می‌تواند ناشی از مکان متفاوت آن‌ها در سلول باشد. هدف از این تحقیق بررسی مکان درون سلولی دو کانال آبی NtPIP1;1 (عضو گروه PIP1s) و NtPIP2;1 (عضو گروه PIP2s) در سلول‌های زنده مزو菲尔 برگ گیاه توتون است.

مواد و روش‌ها: در این مطالعه تجربی توالی cDNA دو کانال آبی به توالی ژن کد کننده پروتئین فلورسانست سبز (GFP) متصل گردید و به طور موقتی در پروتوبلاست‌های تهیه شده از مزو菲尔 برگ توتون بیان شدند. سپس با استفاده از طول موج برانگیختگی نور آبی مکان درون سلولی این دو کانال آبی در زیر میکروسکوپ فلورسانس بررسی شد.

نتایج: نتایج نشان داد که NtPIP1;1 در ساختارهای غشاپلاسمایی داخل سلول باقی مانده در حالی که NtPIP2;1 به غشاپلاسمایی منتقل می‌شود. بیان همزمان وکتورهای حامل توالی HDEL-YFP و NtPIP1;1-GFP (نشانگر شبکه آندوبلاسمی متصل به پروتئین با فلورسانس زرد) در مکان‌هایی مشابه با HDEL (لیزین-آسپارتیک اسید-گلوتامیک اسید-لوسین) در سلول قرار می‌گیرد.

نتیجه گیری: کانال آبی NtPIP1;1 به غشاء پلاسمایی سلول مستقر شده در حالی که NtPIP1;1 در داخل شبکه آندوبلاسمی باقی مانده و به غشاپلاسمایی منتقل نمی‌شود و به همین دلیل فاقد فعالیت انتقال آب است.

وازگان کلیدی: آکواپورین، پروتئین فلورسانست سبز، پروتئین فلورسانست زرد، توتون، کانال آبی

اووسیت باقی مانده و کمتر به غشا مهاجرت می‌کند (۸). برای مطالعه دقیق‌تر این مطلب، در این تحقیق محل درون سلولی NtPIP1;1 و NtPIP2;1 در داخل سلول‌های زنده مزوپیل گیاه توتون با استفاده از مارکرهای غشایی مختلف مورد مطالعه قرار گرفت.

## مواد و روش‌ها

**تهیه گیاه:** گیاه توتون (*Nicotiana tabacum* cv. Samsun) در شرایط آرماشگاهی در اتاقک رشد در دمای ۲۲ درجه سانتی‌گراد با رژیم نوری ۱۶ ساعت روشنایی ۸ ساعت تاریکی با شدت نور ۱۵۰ میکرومول بر مترمربع بر ثانیه بر روی محیط کشت جامد موراشیک و اسکوگ (MS) (۹) با قدرت نصف (۰/۸ درصد آگار) حاوی ۱ درصد سوکروز و ۵ میلی‌مولار MES، pH برابر ۵/۵ به مدت ۳ الی ۴ هفته به منظور تهیه پروتوبلاست رشد داده شد (۸).

**اتصال پروتئین فلورسانت سبز (Green Fluorescent Protein, GFP)** به C یا N-ترمینال پروتئین آکواپورین: کلیه مراحل مولکولی طبق روش Sambrook و همکاران (۱۰) انجام گرفت. برای اتصال GFP به C-ترمینال آکواپورین‌های NtPIP1;1 و NtPIP2;1 ابتدا cDNA مربوط به آن‌ها توسط PCR با استفاده از پرایمرهای اختصاصی جهت اتصال سایت‌های با اثر محدود XhoI و SpeI به ترتیب در انتهای ۵' و ۳' آن‌ها تکثیر شدند. توالی پرایمرها در جدول ۱ ارائه شده است (۸).

محصولات تکثیر برای اطمینان از عدم وجود خطأ در توالی پروتئین، در وکتور TOPO کلون و توالی آن‌ها توسط دستگاه توالی‌یاب DNA طبق روش Sanger و همکاران (۱۱) تعیین گردید.

برای اتصال GFP به N-ترمینال آکواپورین‌های فوق، از پرایمرهای اختصاصی جهت اتصال سایت‌های با اثر محدود BamHI و XbaI به ترتیب در انتهای ۵' و ۳' cDNA NtPIP2;1 و NtPIP1;1 استفاده شد. توالی پرایمرها در جدول ۲ ارائه شده است.

**قراردادن NtPIP1;1 و NtPIP2;1 cDNA در کاست بیانی GFP-JFH:** وکتور به کار رفته برای بیان موقتی در پروتوبلاست‌های مزوپیل تنبایک عبارت بود از pUC19 که حاوی کاست بیانی GFP-JFH-1 می‌باشد. شکل ۱ محل آنزیم‌های با

## مقدمه

حرکت آب از عرض غشاهای سلولی در اثر حضور کانال‌های آبی به نام آکواپورین‌ها (AQPs) تسهیل می‌شود. این پروتئین‌ها مرکب از شش دومین طی کننده‌ی عرض غشا بوده که توسط ۵ لوپ به یکدیگر متصل شده‌اند بطوری که N و C ترمینال آن‌ها در داخل سیتوسول قرار دارد (۱ و ۲).

آکواپورین‌های گیاهی تنوع ایزوفرمی قابل توجهی را نشان می‌دهند. تعیین توالی ژنوم، تعداد دقیق ژن‌های آکواپورین را تا مرز ۳۵ عدد در گیاه آرابیدوپسیس (۲ و ۳) و ۳۳ عدد در گیاه ذرت (۱ و ۴) تعیین نموده است. بر پایه‌ی شباهت توالی، آکواپورین‌های گیاهی به ۴ زیر‌گروه که تا حدودی مطابق با مکان آن‌ها در سلول است تقسیم می‌شوند (۱، ۲ و ۵). پروتئین‌های نوع تونوپلاستی (TIPs) و نوع غشا پلاسمایی (PIPs) آکواپورین‌هایی هستند که به ترتیب در غشاهای واکوئلی و پلاسمایی به وفور بیان می‌شوند. سومین زیر‌گروه شامل پروتئین‌های غشایی شبه نودولین (NIPs) هستند. به عبارتی این زیر‌گروه همولوگ‌های نزدیک به GmNod26 (آکواپورین فراوان در غشا پری‌باکتروئید گرهک‌های تثبیت کننده‌ی ازت در ریشه‌های سویا) می‌باشند. NIPs در غیرلگوم‌ها نیز وجود دارند و در این گیاهان در غشاهای پلاسمایی و درون سلولی قرار گرفته‌اند (۲). زیر‌گروه آخر پروتئین‌های بازی کوچک (SIPs) بوده که غالباً در شبکه‌ی آندوپلاسمی قرار دارند (۲).

آکواپورین‌های غشا پلاسمایی یا PIPs خود به دو گروه فیلوژنتیکی PIP1 و PIP2 تقسیم می‌شوند. اعضای این دو گروه نه تنها از لحاظ طول N و C ترمینال خود متفاوت می‌باشند بلکه فعالیت کanal آب متفاوتی را هنگام بیان در اووسیت‌های زنوبوس نشان می‌دهند (۶). در حالی که PIP1s عموماً در این میزبان هترولوج خاموش می‌باشند، PIP2s فعالیت کanal آب بالایی را نشان می‌دهند. مطالعات دقیق‌تر بر روی مکان درون سلولی آکواپورین‌های نوع PIP1 و PIP2 در پروتوبلاست‌های مزوپیل گیاه ذرت نشان می‌دهد که دلیل پائین بودن فعالیت انتقال آب در آکواپورین‌های نوع PIP1 به خاطر باقی ماندن این آکواپورین‌ها در داخل شبکه آندوپلاسمی و در نتیجه عدم انتقال آن‌ها به داخل غشا پلاسمایی سلول‌های گیاهی می‌باشد (۷). قبل اما نشان دادیم که آکواپورین NtPIP1;1 گیاه توتون هنگام بیان در اووسیت‌های زنوبوس، به مقدار زیاد در داخل سیتوپلاسم

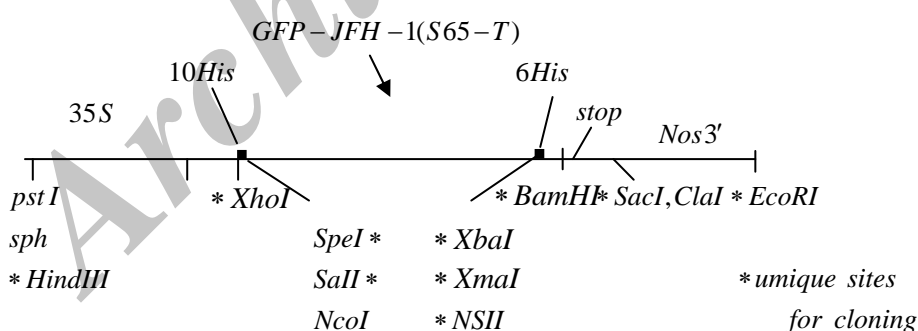
به C-ترمینال یا N-ترمینال آکوپورین‌های NtPIP1;1 و NtPIP2;1، ابتدا کلون‌های NtPIP1;1 cDNA یا NtPIP2;1 همراه با وکتور بیانی فوق در معرض هضم آنزیمی مضاعف قرار گرفتند (۱۰).

جدول ۱: توالی پرایمرهای به کار رفته جهت اتصال سایت‌های *XbaI* و *SpeI* به cDNA آکوپورین.

دماز ذوب (°C)	توالی پرایمرهای جلویی (Fw) و معکوس (Rv)	زن
۶۲	Fw: 5' CGCTCGAGATGGCAGAAAACAAAGAAG 3' XbaI	NtPIP1;1
۶۲/۱	Rv: 5' CGACTAGTGCCTTGAAATGGAATGGC3' SpeI	
۶۳/۵	Fw: 5' CGCTCGAGATGTCAAAGGACGTGATTG 3' XbaI	NtPIP2;1
۶۳/۶	Rv: 5' CGACTAGT GTTGGTTGGGTTACTGCG 3' SpeI	

جدول ۲: توالی پرایمرهای به کار رفته جهت اتصال سایت‌های *XbaI* و *BamHI* به cDNA آکوپورین (۱۱).

دماز ذوب (°C)	توالی پرایمرهای جلویی (Fw) و معکوس (Rv)	زن
۶۱/۹	Fw: 5' CGCTAGAACATGGCAGAAAACAAAGAAG 3' XbaI	NtPIP1;1
۶۲	Rv: 5' CGGGATCCTTAGCTCTGAATGGAATG 3' BamHI	
۶۳/۴	Fw: 5' CGCTAGAACATGTCAAAGGACGTGATTG 3' XbaI	NtPIP2;1
۶۳/۴	Rv: 5' CGGGATCCTAGTTGGTTGGGTTACTG 3' BamHI	



شکل ۱: نقشه‌ی کاست بیانی GFP-JFH-I (۱۲).

واکنش اتصال با استفاده از کیت Ligation High (شرکت TOYOBO، ژاپن) در طول شب در دمای ۱۶ درجه سانتی‌گراد انجام گرفت. سپس محصول واکنش اتصال به باکتری سوش JIM109 با استفاده از شوک حرارتی منتقل شد و انتخاب باکترهای ترانسفرم شده بر روی پلیت‌های LB حاوی ۵۰ میکروگرم بر میلی لیتر آنتی‌بیوتیک آمپیسیلین انجام شد (۱۰). بعد از تایید حضور زن در وکتور توسط کلنسی PCR و هضم

بعد از انجام الکتروفورز ژل آگارز ۲ درصد، باندهای با اندازه‌ی موردنظر از ژل بریده و توسط کیت استخراج از ژل (Qiagen)، DNA استخراج گردید. برای انجام واکنش اتصال از نسبت مولی ۳ به ۱ (insert:vector) و میزان ۱۰۰ نانوگرم وکتور استفاده شد. میزان insert بر حسب نانوگرم طبق رابطه زیر محاسبه شد:

$$X(\text{ng})\text{Insert} = \frac{V(\text{ng})\text{vector} \times \text{Insert}(bp)}{\text{Vector}(bp)} \times \text{molarratio}$$

آنالیز بیان GFP و YFP در پروتوبلاست های ترانسفرم شده توسط میکروسکوپ لیزری فلورسانس: تعیین محل زیر سلولی آکاپورین های متصل به GFP، پروتئین HDEL متصل به پروتئین فلورسانت زرد (YFP) و مارکر غشایی FM4-64 (Invitrogen) در پروتوبلاست های توتون توسط میکروسکوپ Biozero laser scanning (لنزهای ابزکتیو ۴۰، Bz-8000، شرکت KEYENCE، آزادا، ژاپن) انجام شد. برای گرفتن فلورسانت GFP، طول موج برانگیختگی ۴۷۰ نانومتر و طول موج آشکارسازی ۵۳۵ نانومتر استفاده شدند. برای گرفتن فلورسانت FM4-64 در پروتوبلاست هایی که GFP-NtPIP2;1-GFP یا NtPIP1;1-GFP را بیان می کنند، طول موج برانگیختگی ۵۴۰ نانومتر و طول موج آشکارسازی ۶۰۵ نانومتر استفاده شدند. برای گرفتن فلورسانت YFP در پروتوبلاست هایی که NtPIP1;1-GFP یا GFP-NtPIP1;1 را همراه با YFP:HDEL بیان می کنند، از طول موج برانگیختگی ۵۱۴ نانومتر و طول موج آشکارسازی ۵۹۰-۵۳۹ نانومتر استفاده شد. تصاویر با نرم افزار Biozero Analyzer آنالیز شدند. نشان دار کردن غشاء پلاسمایی با FM4-64 از طریق انکوبه کردن پروتوبلاست ها بر روی یخ به مدت ۱۰ دقیقه در محیط کشت تکمیل شده با ۵۰ میکرومولار FM4-64 انجام گرفت (۱۲).

## نتایج

به منظور تعیین توزیع آکاپورین های NtPIP2;1 و NtPIP1;1 در یک سلول گیاهی کامل، سازه هی ژنی حاوی اتصال قابل ترجمه میان هر یک از آکاپورین ها و پروتئین GFP توسط ترانسفرم کردن موقتی به واسطه PEG به داخل پروتوبلاست های مزو菲尔 برگ های توتون منتقل شدند و فلورسانت اختصاصی مزو菲尔 برگ های توتون با استفاده از آنالیز شد. GFP به C-Terminal یا N-Terminal آکاپورین های NtPIP2;1 و NtPIP1;1 برای اطمینان از عدم تداخل GFP با انتقال آکاپورین به غشا پلاسمایی متصل شد. محل زیر سلولی هر پروتئین NtPIP در پروتوبلاست های ترانسفرم شده توتون با استفاده از میکروسکوپ فلورسانس تعیین شد.

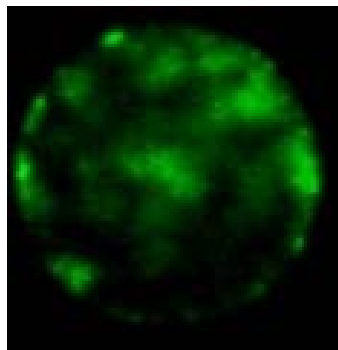
نتایج نشان داد سلول هایی که به طور موقتی GFP متصل به C-Terminal یا N-Terminal) را بیان می کنند فلورسانت سبز رنگ شدیدی (شکل ۲ b و d) را در غشاء پلاسمایی نسبت به کنترل

آنزیمی، کلنی های مثبت در محیط LB مایع تکثیر و پلاسمید (BioRad Plasmid Miniprep) استخراج گردید. از این پلاسمید جهت ترانسفرم کردن پروتوبلاست های مزو菲尔 توتون استفاده شد.

جداسازی پروتوبلاست مزو菲尔 برگ توتون: جداسازی پروتوبلاست های مزو菲尔 توتون مطابق روش Hosy و همکاران (۱۲) انجام شد. به طور خلاصه برگ های توتون به طول ۵ سانتی متر از گیاهان ۴ هفته ای رشد یافته در شرایط آزمایشگاهی در محیط MS با قدرت نصف تحت شرایط استریل برداشت شدند و سطح تحتانی آن ها با کاغذ سمباده ساییده شدند. سپس برگ ها در داخل پتری دیش های حاوی ۱۰ میلی لیتر محیط هضم استریل EF به مدت ۱۹ ساعت در تاریکی در دمای ۲۵ درجه سانتی گراد قرار داده شدند.

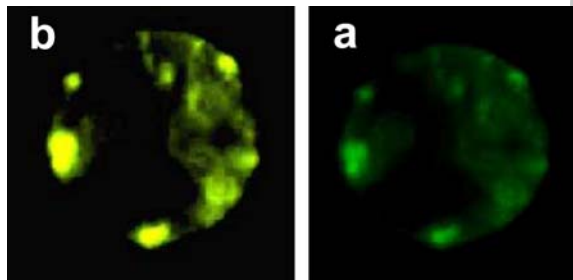
بعد از هضم آنزیمی، قطعات هضم شده برگ های دور ریخته شدند و ۴ میلی لیتر محیط شناورسازی MLO6 به داخل پتری دیش اضافه شد. سپس سوسپانسیون پروتوبلاست از خلال فیلتر نایلونی ۱۰۰ میکرونی فیلتر شد و با سرعت ۱۱۰g به مدت ۷ دقیقه سانتریفیوژ شد. پروتوبلاست های قرار گرفته در باند شناور در سطح لوله های سانتریفیوژ برداشت شدند و با ۴ حجم از محیط شستشوی W<sub>5</sub> اتوکلاو شده رقیق شدند. سپس سلول ها در سرعت ۱۱۰g به مدت ۷ دقیقه رسوب داده شدند و رسوب در ۴۰ میلی لیتر و سپس ۲۰ میلی لیتر محلول مانیتول / Mg شستشو داده شد. در پایان، پروتوبلاست ها در محلول فوق در غلظت ۱۰<sup>6</sup> سلول در میلی لیتر معلق شدند.

**ترانسفرم کردن پروتوبلاست ها:** در یک لوله اپندروف، ۱۵۰ میکرولیتر از پروتوبلاست های غلیظ شده و ۱۵۰ میکرولیتر محلول PEG به ۵ الی ۱۰ میکروگرم DNA پلاسمیدی مورد نظر اضافه شدند و به مدت ۳۰ دقیقه در دمای اتاق انکوبه شدند. سپس نمونه با ۸ میلی لیتر از محیط K3M استریل تکمیل شده با ۴/۴۵ مولار گلوکز رقیق شده و به مدت ۷ دقیقه در سرعت ۱۱۰g رسوب داده شدند (۱۲). سرانجام پروتوبلاست ها در ۳ میلی لیتر محیط K3M استریل معلق شده و به مدت ۱۶ الی ۲۴ ساعت در دمای ۲۰ درجه سانتی گراد در تاریکی قبل از آنالیز انکوبه شدند (۱۲). برای بیان تسام NtPIP1;1-GFP یا (مارکر شبکه آندوبلاسمی YFP: GFP- NtPIP1;1)، هدیه از پروفسور کریس هاوز از دانشگاه بروکس آکسفورد، ۵ میکروگرم از هر یک از پلاسمیدها به طور همزمان با هم به پروتوبلاست ها انتقال داده شدند (۱۲).



شکل ۴: تعیین مکان درون سلولی NtPIP1;1 متصل به GFP در ناحیه N-ترمینال آکوپورین

برای شناسایی ساختارهای داخلی حاوی پروتئین‌های NtPIP1;1-GFP و یا GFP-NtPIP1;1، پروتئین YFP::HDEL (مارکر شبکه‌ی آندوپلاسمی متصل به پروتئین با فلورسانس زرد) (۱) در پروتوبلاست‌های توتون با هم بیان شدند. همانگونه که در شکل ۵ (a) و (b) نشان داده شده، NtPIP1;1-GFP مکان درون سلولی مشابه با YFP::HDEL را نشان می‌دهد که ثابت می‌کند NtPIP1;1-GFP احتمالاً در داخل شبکه آندوپلاسمی پروتوبلاست‌های توتون باقی می‌ماند.

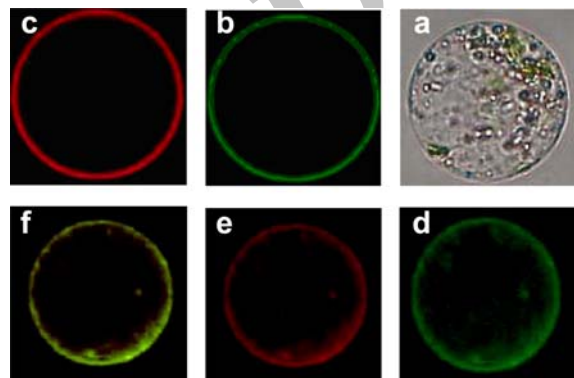


شکل ۵: بیان توازن NtPIP1;1-GFP با مارکر شبکه آندوپلاسمی، (a) پروتوبلاست مزوپیل که NtPIP1;1-GFP را به طور موقت بیان می‌کند، (b) همان پروتوبلاست که مارکر شبکه آندوپلاسمی را بیان می‌کند.

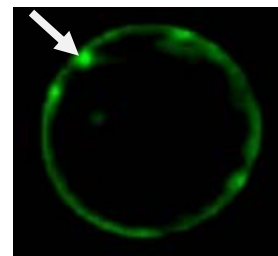
## بحث

در گیاهان آکوپورین‌های غشا پلاسمایی یا PIPs به دو گروه واپسیه از لحاظ توالی تقسیم می‌شوند: PIP1s و PIP2s. که اعضای آن‌ها نه تنها از لحاظ طول N و C ترمینال خود متفاوت هستند، بلکه فعالیت کانال آب متفاوتی را هنگام بیان در اوسویت‌های زنوبیوس نشان می‌دهند (۶). در حالیکه PIP1s عموماً در این میزان هترولوگ خاموش می‌باشند، PIP2s فعالیت کانال آب بالایی را نشان می‌دهند.

منفی (شکل ۲a) نشان می‌دهند که توسط مارکر غشاء پلاسمایی FM4-64 تایید شد (شکل ۲c و e) فلورسانس قرمز. این نتیجه نشان می‌دهد که آکوپورین NtPIP2;1 در غشا پلاسمایی قرار می‌گیرد و اتصال GFP به C-ترمینال یا N-ترمینال این پروتئین تاثیری در هدف‌گیری آن به سمت غشا پلاسمایی ندارد. NtPIP2;1-GFP-NtPIP2;1-فلورسانس سبز رنگ حاصل از GFP بعضی موقع در ساختارهای وزیکولی در مجاورت غشا پلاسمایی مشاهده می‌شوند (شکل ۳) که مربوط به پروتئین‌های هستند که در مسیر، از محل سنتزشان در داخل شبکه آندوپلاسمی به مکان استقرارشان در غشا پلاسمایی در حال گذر هستند (۷).



شکل ۲: تعیین مکان درون سلولی NtPIP2;1 متصل به پروتئین GFP. (a) پروتوبلاست مزوپیل توتون در حالت زمینه روشن. (b) پروتوبلاست مزوپیل که NtPIP2;1-GFP را بیان می‌کند. (c) نشان دار کردن غشاء پلاسمایی پروتوبلاست مزوپیل در شکل (b) با مارکر اختصاصی غشاء پلاسمایی (FM4-64). (d) پروتوبلاست مزوپیل در شکل (d) با مارکر اختصاصی غشا پلاسمایی NtPIP2;1 GFP را بیان می‌کند. (e) نشان دار کردن غشا پلاسمایی پروتوبلاست مزوپیل در شکل (e) با مارکر اختصاصی غشا پلاسمایی (FM4-64). (f) ادغام تصاویر (d) و (e).



شکل ۳: حضور آکوپورین NtPIP2;1 در ساختارهای وزیکولی (فلش) در مجاورت غشا.

بر خلاف NtPIP1;1-GFP، پروتئین‌های NtPIP2;1 یا NtPIP2;1-GFP در غشا پلاسمایی مشاهده نشدن، بلکه درون ساختارهای داخلی در اطراف هسته، سیتوسول و نزدیک غشا پلاسمایی وجود دارند (همانگونه که از فلورسانس سبز حاصل از آن‌ها مشخص می‌باشد) (شکل ۴).

تنظیم نفوذپذیری غشا فراهم می‌نمایند. ترکیب‌های مختلف هترومرهای PIP1-PIP2 در انواع سلولی خاص یا در پاسخ به علایم محیطی مختلف تا حد زیادی تنوع فعالیت کانال در غشاء را افزایش خواهند داد. این مکانیسم ممکن است با دیگر تغییرات پس از ترمجه‌ی آکواپورین‌های گیاهی از جمله فسفولیاسیون، پروتونه شدن، گلیکوزیلیاسیون و متیلیاسیون که باز و بسته شدن و جابه‌جایی کانال‌ها را در سلول کنترل می‌کنند، در ارتباط باشد. تحقیقات اخیر با استفاده از موتان‌های گیاه آربیدوپسیس که در آکواپورین‌2 AtPIP1;2 نقص دارند نشان داد که هدایت آبی هیدرواستاتیک ریشه گیاه موتان بین ۲۰ تا ۳۰ درصد کاهش می‌یابد در حالی که هدایت آبی اسموتیک ریشه تغییری نمی‌کند (۱۴). این نتایج نشان می‌دهد که ترکیب ایزوفرم‌های مختلف آکواپورین در گیاه نقش مهمی در تعیین میزان هدایت آبی گیاه دارند (۱۴ و ۱۵).

آکواپورین‌های NtPIP1;1 و NtPIP2;1 در بخش‌های مختلف گیاه توتون از جمله ریشه، برگ، گل، بساک و مادگی بیان می‌شوند (۳)، ولی مکان دقیق آن‌ها در سلول و در گیاه کاملاً مشخص نیست. به هر حال با استناد به مطالعات انجام شده حاضر می‌توان بیان داشت که NtPIP1;1 در داخل شبکه‌ی آندوپلاسمی و NtPIP2;1 در داخل غشا پلاسمایی قرار گرفته ولی برهمکنش و ترکیب این دو آکواپورین می‌تواند موجب اصلاح قرارگیری NtPIP1;1 در غشا پلاسمایی شود. همچنین برای بررسی نقش دقیق این دو آکواپورین در توتون نیاز به انجام مطالعات بر روی گیاهان موتان است که در حال حاضر موتانی که در هر یک از این آکواپورین‌ها نقش داشته باشد برای گیاه توتون موجود نیست.

### نتیجه‌گیری

از مشاهدات میکروسکوپی بر روی پروتوبلاست‌هایی که پروتئین کانال آبی متصل به GFP را بطور موقت بیان می‌کنند می‌توان چنین نتیجه‌گرفت که کانال آبی NtPIP2;1 در غشا پلاسمایی سلول مستقر شده در حالیکه NtPIP1;1 در داخل شبکه‌ی آندوپلاسمی باقی مانده و به غشا پلاسمایی منتقل نمی‌شود و به همین دلیل قادر فعالیت انتقال آب است.

### تشکر و قدردانی

این تحقیق با حمایت مالی دانشگاه اراک انجام شد. بدین وسیله از معاونت محترم پژوهش و فناوری آن دانشگاه کمال تشکر به عمل می‌آید.

مطالعات قبلی ما نشان داد هنگامی که NtPIP1;1 در اووسیت‌های *Xenopus* بیان شود قادر فعالیت کانال آبی می‌باشد، در حالی که NtPIP2;1 فعالیت انتقال آب بالای را در این سیستم نشان می‌دهد (۸). بعلاوه مشاهد شد که NtPIP1;1 متصل به GFP، سیگنال سبز ضعیفی را در غشا اووسیت تولید می‌کند، در حالی که هنگام بیان توام با NtPIP2;1، نه تنها میزان NtPIP1;1 در غشا پلاسمایی افزایش یافته (شدت سیگنال سبز در غشا افزایش می‌یابد)، بلکه نفوذ پذیری آبی اسموتیک غشا نیز افزایش می‌یابد (۸). اینطور به نظر مرسد که NtPIP1;1 به این دلیل قادر فعالیت کانال آبی است که در غشا پلاسمایی قرار نمی‌گیرد. در تایید این مطلب ما نشان دادیم هنگامی که NtPIP1;1 متصل به GFP در پروتوبلاست‌های مزوپلیت توتون به طور موقت بیان شود، این آکواپورین به غشا پلاسمایی منتقل نشده (شکل ۴) و در داخل شبکه‌ی آندوپلاسمی باقی می‌ماند (شکل ۵). اضافه کردن فلوروکروم GFP به NtPIP1;1 با حرکت آن در سلول تداخل نمی‌کند، زیرا هنگامی که GFP به C ترمینال یا N ترمینال NtPIP1;1 اضافه می‌شود در هر دو حالت، NtPIP1;1 در شبکه آندوپلاسمی باقی می‌ماند. برخلاف NtPIP2;1، آکواپورین NtPIP2;1 در غشا پلاسمایی قرار می‌گیرد (شکل ۶).

Zelazny و همکارانش (۷) نیز نشان دادند که تمام ایزوفرم‌های ZmPIP1 ذرت مورد مطالعه نظیر ZmPIP1;2، ZmPIP1;1 و ZmPIP1;6 متصل به mYFP یا mCFP ZmPIP1;6 می‌شوند، در داخل شبکه‌ی پروتوبلاست‌های مزوپلیت ذرت بیان شوند، در داخل شبکه‌ی آندوپلاسمی باقی می‌مانند و مکانیسم حفاظت شده‌ای را برای باقی ماندن در ER نشان می‌دهند. این مکان یابی می‌تواند به علت حضور سیگنال‌های حبس در ER، نبود سیگنال‌های خروج و یا نیاز به اجتماع قبلی پروتئین باشد.. از طرفی بیان توام ZmPIP2s با ZmPIP1s متصل به YFP و یا CFP، منجر به اصلاح قرار گرفتن ZmPIP1s در غشا پلاسمایی می‌شود. با استفاده از تکنیک تصویر برداری میکروسکوپی FRET/Fluorescence life-time که این تغییر مکان ZmPIP1s از شبکه‌ی آندوپلاسمی به غشا پلاسمایی نتیجه‌هایی از برهم کنش میان ZmPIP1s و ZmPIP2s می‌باشد. این داده‌ها پیشنهاد می‌کنند که بر هم کنش PIP1-PIP2 برای حرکت PIP1 به غشا پلاسمایی جهت تعديل نفوذپذیری غشا پلاسمایی در گیاهان نیاز می‌باشد. این بر هم کنش‌ها، برای سلول‌ها یک مکانیسم اضافی را جهت

13. Batoko H, Zheng HQ, Hawes C, Moore I. A Rab1 GTPase is required for transport between the endoplasmic reticulum and Golgi apparatus and for normal Golgi movement in plants. *Plant Cell* 2000; 12(11): 2201-2218.
14. Postaire O, Tournaire-Roux C, Grondin A, Boursiac Y, et al. A PIP1 Aquaporin Contributes to Hydrostatic Pressure-Induced Water Transport in Both the Root and Rosette of *Arabidopsis*. *Plant Physiol.* 2010; 152(3): 1418-1430.
15. Alexandersson E, Danielson J, Rade J, Moparthi VK, et al. Transcriptional regulation of aquaporins in accessions of *Arabidopsis* in response to drought stress. *Plant J.* 2010; 61: 650-660.

## منابع

1. Chaumont F, Barrieu F, Wojcik E, Chrispeels MJ, et al. Aquaporins constitute a large and highly divergent protein family in maize. *Plant Physiol.* 2001; 125: 1206-1215.
2. Johanson U, Gustavsson S. A new subfamily of major intrinsic proteins in plants. *Mol. Biol. Evol.* 2002; 19(4): 456-461.
3. Johanson U, Karlsson M, Johansson I, Gustavsson S, et al. The complete set of genes encoding major intrinsic proteins in *Arabidopsis* provides a framework for a new nomenclature for major intrinsic proteins in plants. *Plant Physiol.* 2001; 126(4): 1358-1369.
4. Chaumont F, Barrieu F, Jung R, Chrispeels MJ. Plasma membrane intrinsic proteins from maize cluster in two sequence subgroups with differential aquaporin activity. *Plant Physiol.* 2000; 122: 1025-1034.
5. Luu DT, Maurel C. Aquaporins in a challenging environment: molecular gears for adjusting plant water status. *Plant, Cell Environ.* 2005; 28: 85-96.
6. Fetter K, Van Wilder V, Moshelion M, Chaumont F. Interactions between plasma membrane aquaporins modulate their water channel activity. *Plant Cell* 2004; 16(1): 215-228.
7. Zelazny E, Borst JW, Muylaert M, Batoko H, et al. FRET imaging in living maize cells reveals that plasma membrane aquaporins interact to regulate their subcellular localization. *Proc. Natl. Acad. Sci. USA* 2007; 104: 12359-12364.
8. Mahdieh M, Mostajeran A, Horie T, Katsuhara M. Drought stress alters water relations and expression of *PIP*-type aquaporin genes in *Nicotiana tabacum* plants. *Plant Cell Physiol.* 2008; 49: 801-813.
9. Murashige T, Skoog F. A revised medium for rapid growth and bioassay with tobacco tissue cultures. *Plant Physiol.* 1962; 15: 473-479.
10. Sambrook J, Fritsch EF, Maniatis T. Molecular cloning: a laboratory manual, 2<sup>nd</sup> Ed. Cold Spring Harbor Laboratory Press; 1999.
11. Sanger F, Nicklen S, Coulson AR. DNA sequencing with chain-terminating inhibitors. *Proc. Natl. Acad. Sci. USA*. 1977; 74(12):5463-5467.
12. Hosy E, Duby G, Very AA, Costa A, et al. A procedure for localization and electrophysiological characterization of ion channels heterologously expressed in a plant context. *Plant Method.* 2005; 1:1-14.